

پتروگرافی، زمین‌شیمی و خاستگاه گرانیتوئید کوه گبری رفسنجان

زهره عابدپور^(۱)، سید محمد میرحسینی^(۲)، حمید احمدی‌پور^(۳) و حبیب‌ا... قاسمی^(۴)

۱. دانشگاه آزاد اسلامی، واحد بندرعباس، گروه زمین‌شناسی، بندرعباس، ایران

۲. جهاد دانشگاهی هرمزگان، بندرعباس، ایران

۳. استادیار بخش زمین‌شناسی، دانشکده علوم، دانشگاه شهید باهنر کرمان، کرمان، ایران

۴. دانشیار بخش زمین‌شناسی، دانشکده علوم، دانشگاه شهید صنعتی شاهرود، شاهرود، ایران

تاریخ دریافت: ۹۱/۴/۱۰

تاریخ پذیرش: ۹۱/۱۱/۲۴

چکیده

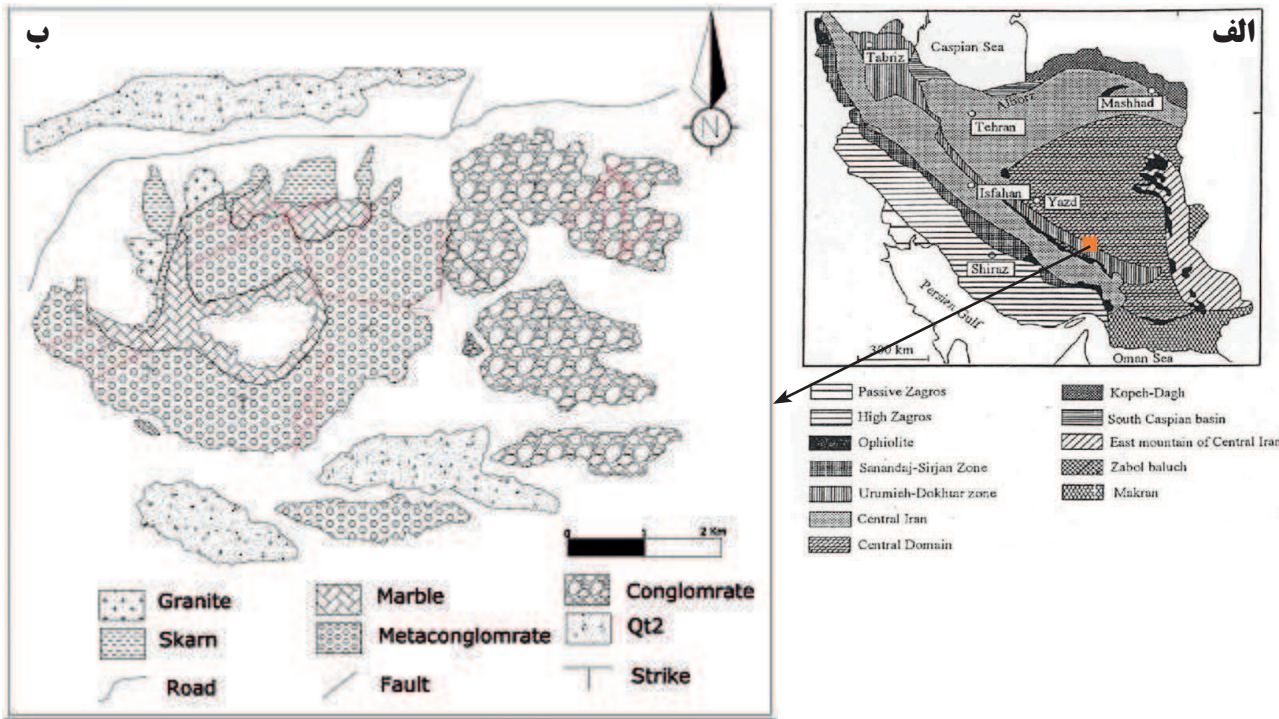
گرانیتوئید کوه گبری در ۴۲ کیلومتری شرق رفسنجان استان کرمان، در زون ساختاری ارومیه - دختر قرار گرفته است. نفوذ دو استوک گرانیتوئیدی کوه گبری به درون سنگ‌های آهکی کرتاسه و کنگلومرات پالئوسن منجر به دگرگونی مجاورتی گردیده است. این سنگ‌ها اساساً دارای کانی‌های اصلی کوارتز، آلکالی فلدسپار و پلاژیوکلاز و کانی‌های فرعی مانند بیوتیت، زیرکن و کانی‌های اپک می‌باشند. براساس داده‌ها و نمودارهای ژئوشیمیابی، مقدار درصد وزنی SiO_2 نمونه‌های مورد مطالعه بین ۷۶/۸۳ تا ۷۵/۵۷ نمودارهای عنکبوتی هنجار شده نمونه‌های گرانیتوئید کوه گبری نسبت به مقادیر گوشته اولیه و کندریتیبانگر غنی شدگی Rb و Th و تنهی شدگی Eu و Sr می‌باشد. بعلاوه نمونه‌های گرانیتوئیدی منطقه از عناصر LREE غنی شده هستند. بی‌هنجاری منفی Nb نشان دهنده منشا پوسته‌ای گرانیتوئید کوه گبری می‌باشد. براساس داده‌ها و نمودارهای ژئوشیمیابی، گرانیتوئیدهای کوه گبری از نوع I بوده و به سمت نوع A تمایل نشان می‌دهند و در موقعیت زمین‌ساختاری هم زمان تا بعد از کوهزایی قرار می‌گیرند. شواهد صحرازی، مشاهدات پتروگرافی و ویژگی‌های ژئوشیمیابی تأیید کننده یک منشا ماقمای پوسته‌ای در شرایط فشار کم می‌باشند. تغییرات شیمیابی و مشاهدات پتروگرافی اساساً به دلیل تبلور تفریقی ماقمای منشأ می‌باشند.

واژه‌های کلیدی: تبلور تفریقی، ذوب پوسته‌ای، رفسنجان، گرانیتوئید کوه گبری.

مقدمه

سنگ‌های گرانیتی یا گرانیتوئیدی، سنگ‌های آذرین اسیدی با بافت گرانولار و دارای کانی‌های اصلی کوارتز و دو فلدسپار می‌باشند و تنوع وسیعی را نشان می‌دهند. اکثر تودهای گرانیتوئیدی ایران در زون ایران مرکزی، زون سنتنگ - سیرجان و کمریند ارومیه - دختر واقع شده‌اند. کمریند مس کرمان با حضور تعداد زیادی از کانسارهای پورفیری بزرگ و کوچک، مهمترین منطقه مس خیز در سنگ‌های گرانیتوئیدی زون ارومیه - دختر می‌باشد (شفیعی، ۱۳۹۰). منطقه کوه گبری در ۴۲ کیلومتری شرق

*نویسنده مرتبط abedpour.z@gmail.com



شکل ۱. الف) موقعیت منطقه بر روی نقشه واحدهای ساختاری - رسوی ایران (نقل از شیخ الاسلامی، ۲۰۰۳)، ب) نقشه ساده زمین‌شناسی منطقه مورد مطالعه (آفتابی و عباس‌نژاد، ۱۳۶۹) اندکی با تغییرات (عبدالپور، ۱۳۸۵).

که در منطقه وجود دارند. مهمترین رخداد زمین‌شناسی منطقه، نفوذ دو استوک گرانیتی‌یدی به درون سنگ‌های میزبان بوده که موجب دگرگونی مجاورتی و به وجود آمدن سنگ‌های دگرگونی اسکارن، مرمر و متاکنگلومرا از بخش داخلی هاله دگرگونی به سمت خارج گردیده است (شکل ۳). سنگ‌های میزبان در اثر پدیده دگرگونی مجاورتی تا حد رخساره هورنبلند هورنفلس و پیروکسن هورنفلس دگرگون شده‌اند.

به طور دقیق و جامع مورد مطالعه قرار نگرفته است. در این مقاله سعی شده تا با تکیه بر داده‌های ژئوشیمیابی سنگ و با استفاده از نتایج دقیق‌تر و جامع‌تر، منشا مagmaی سازنده توده آذرین کوه گبری را مشخص کرد.

روش مطالعه

پس از نمونه‌برداری در منطقه و انجام مطالعات پتروگرافی مقاطع نازک میکروسکوپی سنگ‌های آذرین، ۷ نمونه سنگی جهت تجزیه شیمیایی اکسیدهای عناصر اصلی سنگ به روش XRF و عناصر فرعی و کمیاب به روش ICP-MS انتخاب و به آزمایشگاه Actlab کانادا ارسال و مورد تجزیه قرار گرفته است. داده‌های حاصل از آنالیز بر روی نمودارهای پترولوزی با استفاده از نرم‌افزارهای GCDIKITE و IGPET ترسیم و مورد تحلیل و تجزیه قرار گرفته است.

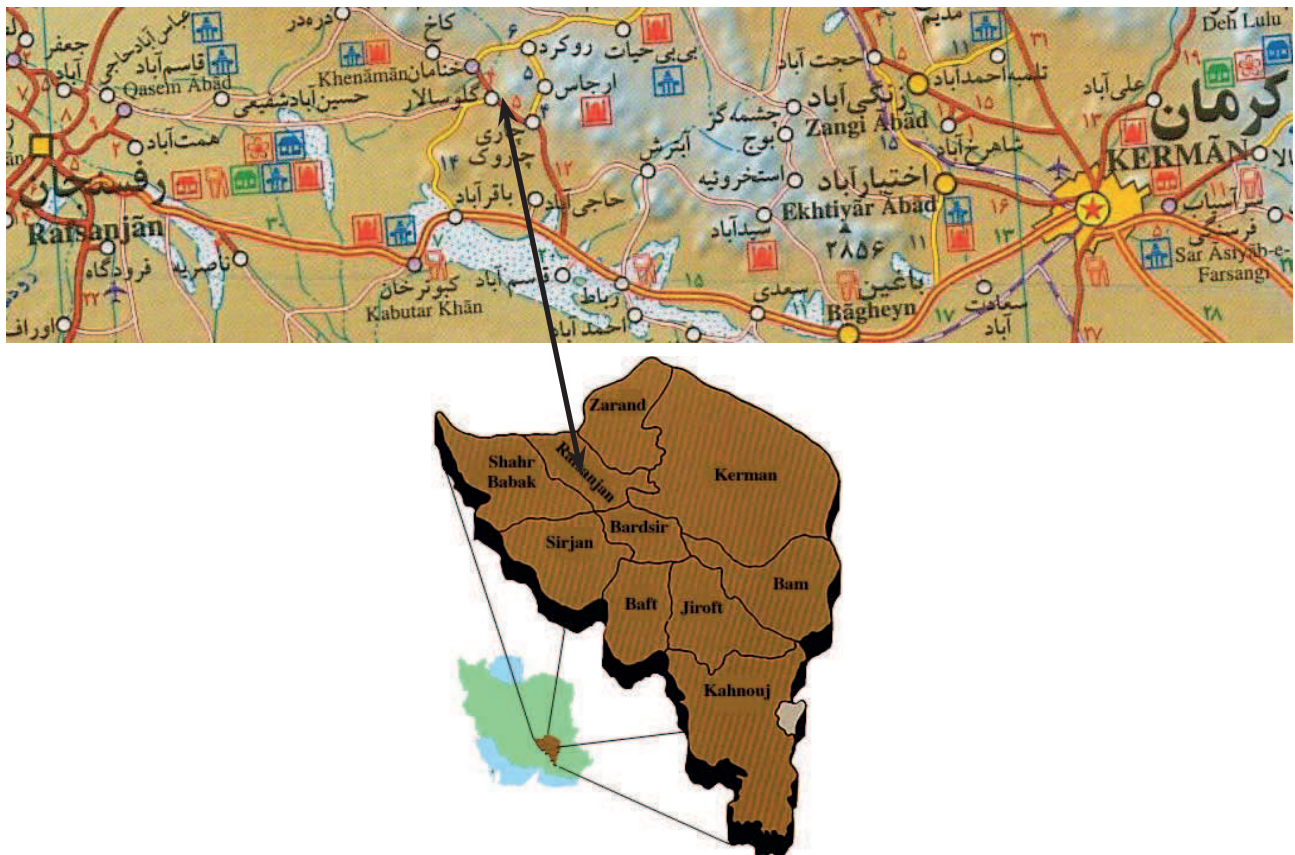
زمین‌شناسی منطقه مورد مطالعه

منطقه مورد مطالعه در شرق رفسنجان، بر روی لبه شمالی کمربند ماگمایی ارومیه - دختر و بین زون‌های سنتنج - سیرجان و ایران مرکزی واقع شده است. مساحت منطقه مورد مطالعه حدود ۳۰ کیلومتر مربع بوده و از نظر تقسیمات کشوری در شمال غربی استان کرمان، شهرستان رفسنجان و در بخش مرکزی در نزدیکی دهستان خنامان واقع شده است (شکل ۲). قدیمی‌ترین واحدهای سنگی منطقه سنگ‌های آهکی ضخیم لایه کرتاسه فوقانی بوده که بخش اعظم منطقه را تشکیل می‌دهند. کنگلومراهای چندزادی پالئوسن زیرین و آبرفت‌های عهد حاضر، واحدهای سنگی دیگری هستند.

روابط صحرایی و پتروگرافی

بر اساس مطالعات پتروگرافی برش‌های نازک میکروسکوپی نمونه‌های آذرین منطقه، توده نفوذی کوه گبری یک توده تقریباً همگن با ترکیب گرانیت تا آلکالی گرانیت است. در بررسی‌های صحرایی، سنگ‌های گرانیتی حجم بیشتری را نسبت به آلکالی گرانیت‌های منطقه، به خود اختصاص داده و هوازدگی و فرسایش کمتری در آنها مشاهده شده است. تغییر ترکیب از گرانیت به آلکالی گرانیت کاملاً تدریجی بوده و مرز ناگهانی بین این سنگ‌ها مشاهده نشده است. نمونه دستی گرانیت‌های منطقه به رنگ سفید تا خاکستری، دانه متوسط تا دانه درشت بوده، قطر بعضی از کوارتزهای آنها به چند میلیمتر می‌رسد. میزان کانی‌های مafیک به طور متوسط، در این دسته از سنگ‌ها بیشتر از آلکالی گرانیت‌ها بوده و ظاهر تیره‌تری دارند.

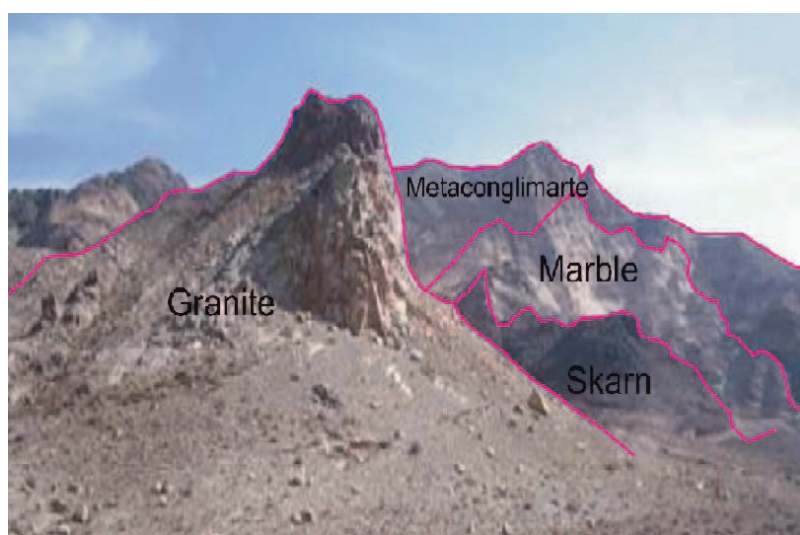
در مطالعات میکروسکوپی، کوارتزها عمدهاً بی‌شکل بوده و در اغلب موارد فضای بین بلورهای درشت فلدسپات آلکالن و پلازیوکلاز را پر کرده‌اند (شکل ۴-الف و ب). مرز بلورهای کوارتز از زاویه‌دار یکنواخت تا مضرس و نامنظم تغییر می‌کند.



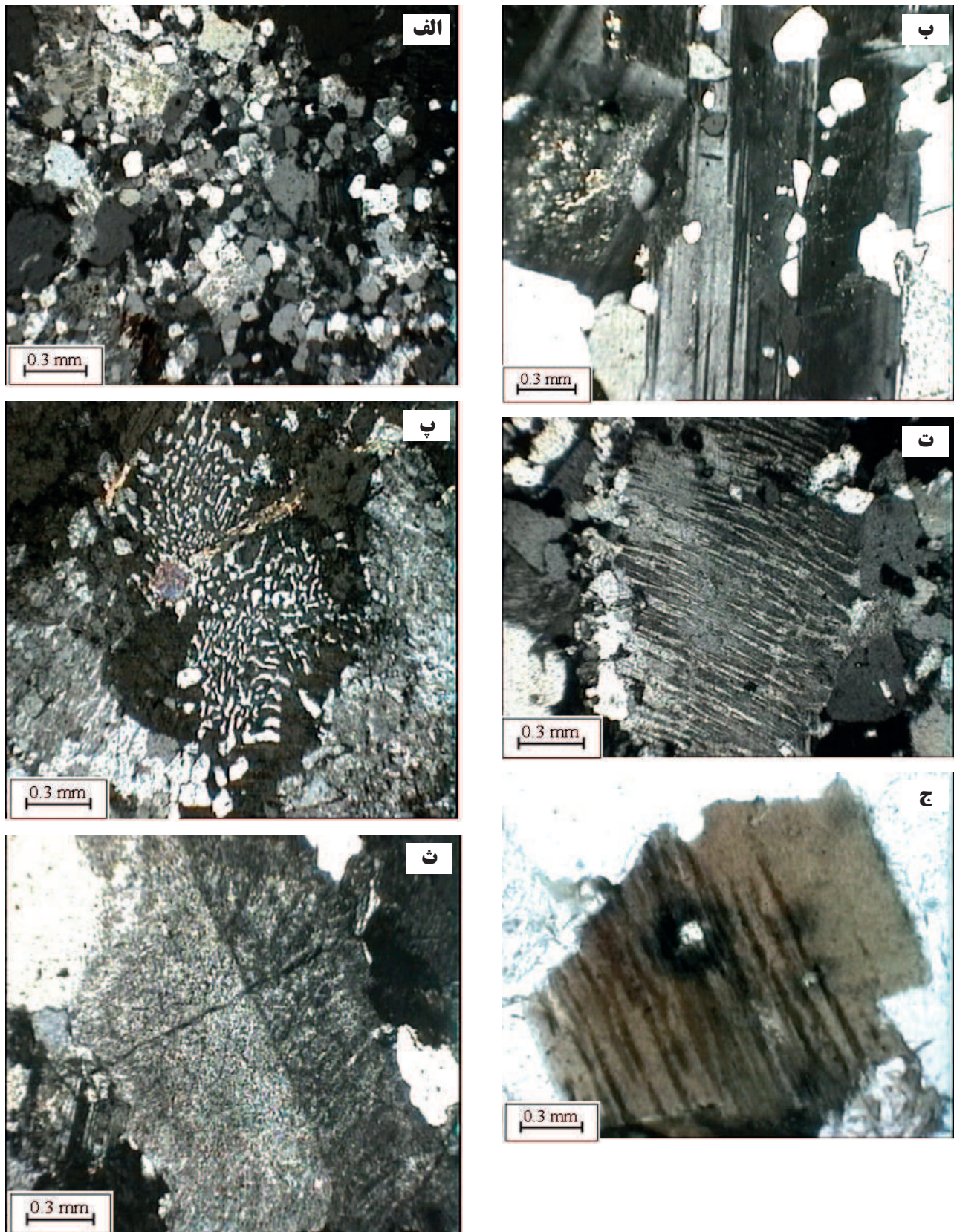
شکل ۲. موقعیت منطقه مورد مطالعه در استان کرمان و راههای دسترسی به آن.

که این امر احتمالاً به دلیل کلسیک‌تر بودن و در نتیجه ناپایدار بودن نواحی مرکزی در پلاژیوکلازها می‌باشد. در مطالعات میکروسکوپی، دوقلویی کارلسپاد و پدیده پرتیتی شدن در اغلب آلکالی فلدسپارها مشاهده می‌شود. در بعضی نمونه‌ها، فلدسپار آلکالن در اثر هم‌رشدی با کوارتز، بافت گرانوفیری را به وجود آورده است. تمام بلورهای فلدسپار آلکالن متتحمل دگرسانی رسی شده‌اند (شکل ۴-ث). از دلایل تجزیه آن‌ها می‌توان به تأثیر

فلدسپات آلکالن با کوارتز بصورت درهم‌رشدی (بافت گرانوفیری) در فضای ما بین بلورها رشد نموده‌اند (شکل ۴-پ). همچنین بلورهای فلدسپات پتاسیم با پلاژیوکلازها در قالب بافت پرتیتی در مقاطع مشاهده می‌شوند (شکل ۴-ت). شدت دگرسانی نسبتاً بالا بوده و به سرسیت و رس دگرسانی یافته‌اند. منطقه‌بندی در پلاژیوکلازها مشاهده نشده است و اغلب سوسوریتی شده‌اند. در اغلب بلورها، شدت دگرسانی در مرکز بلورها زیادتر است



شکل ۳. نمای رو به شمال شرق از واحدهای سنگی منطقه کوه گبری



شکل ۴. تصاویر میکروسکوپی XPL . (الف) بلورهای ریز کوارتز (نسل دوم) حاشیه پلاژیوکلازها که احتمالاً در اثر سرد شدن ناگهانی حاصل شده اند، (ب) تصویر میکروسکوپی از بلورهای کوارتز بصورت ادخال در پلاژیوکلاز، (پ) بافت گرانوفیری در نمونه های گرانیتی، (ت) بافت پرتیتی در بلور آلکالی فلدسپات نمونه های گرانیتی، (ث) بلور فلدسپات آکالان با ماکل کارلسbad و دگرسانی آرژیلیتی، (ج) کانی زیرکن بصورت ادخال در کانی بیوتیت.

زمین‌شیمی عناصر اصلی و کمیاب

Abdel- Rahman (1979)، O'Connor (1965)، Barker (1979) و (1990) گرانیت‌وئیدها را با استفاده از دیاگرام مثلثی آلیت - ارتوزکلاز - آنورتیت نورماتیو طبقه‌بندی کردند. مطابق این رده‌بندی، سنگ‌های گرانیت‌وئیدی مورد مطالعه در محدوده گرانیت قرار می‌گیرند (شکل ۵-الف). SiO_2 نمونه‌های آذرین تجزیه شده، مقدار درصد وزنی $75/57$ تا $76/83$ را نشان می‌دهند که حاکی از اسیدی و فلزیک بودن نمونه‌ها می‌باشد و در نمودار SiO_2 در مقابل $\text{Na}_2\text{O} + \text{K}_2\text{O}$ (شکل ۵-ب)، (Middelmost 1994) نمونه‌ها در محدوده گرانیت و آلکالی فلدسپار گرانیت قرار می‌گیرند. این سنگ‌ها دارای مقادیر نسبتاً بالایی از اکسیدهای آلکالن می‌باشند و مقادیر $\text{Na}_2\text{O} + \text{K}_2\text{O}$ نمونه‌ها آنها از $7/89$ تا $8/48$ درصد وزنی تغییر می‌کند، در نمودارهای هارکر اکسیدهای SiO_2 و P_2O_5 و CaO ، MgO ، Al_2O_3 ، TiO_2 نمونه‌های مورد مطالعه، روند خاصی را نشان نمی‌دهند ولی اکسیدهای Na_2O و K_2O روند تقریباً افزایشی را با افزایش کم $\text{CaO} + \text{Na}_2\text{O} + \text{K}_2\text{O}$ از خود نشان می‌دهند (شکل ۶). در نمودار سری SiO_2 در مقابل K_2O ، Forst et al. (2001) در محدوده سری سنگ‌های آلکالی - کلسیک قرار می‌گیرند (شکل ۷-الف). جهت رده‌بندی و نام‌گذاری شیمیایی سنگ‌های گرانیت‌وئیدی بر اساس درجه اشباع از آلومین (Shand A/CNK = molar A/CNK / $\text{Al}_2\text{O}_3/\text{CaO} + \text{Na}_2\text{O} + \text{K}_2\text{O}$)، استفاده شده است. نمونه‌هادر دیاگرام A/CNK در مقابل A/NK (شکل ۷-ب) ویژگی پرآلومینوس ضعیف را نشان می‌دهند. نسبت‌های مولکولی A/CNK نمونه‌های سنگی بین $1/18$ تا $1/108$ متغیر است. به‌منظور تشخیص نوع گرانیت منطقه از نمودار Na_2O در مقابل K_2O Chappel and White (1979)

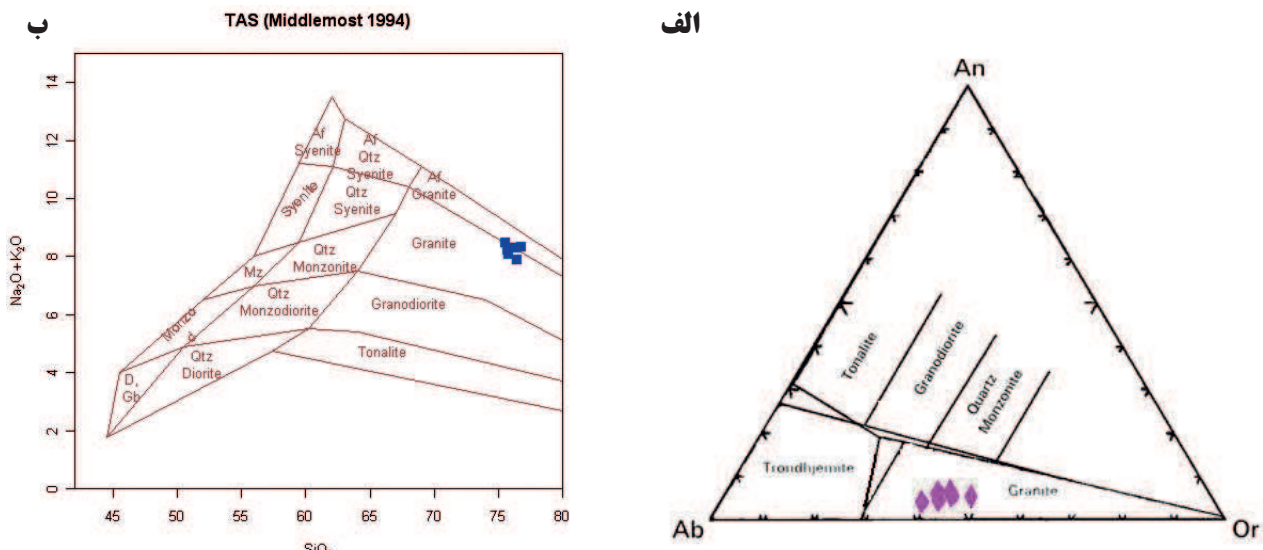
سیالات گرمابی و دانه متوسط بودن بافت آن‌ها اشاره نمود که آن‌ها را مستعد تجزیه و دگرسانی کرده است. معمولاً شیارهایی در بعضی بلورها دیده می‌شود که از سرسیست پر شده‌اند. دگرسانی در این کانی‌ها متغیر بوده به طوری که در بعضی موارد منظره ابرمانندی به آنها داده است. برخی از آلکالی فلدسپارها، بلورهای کوچک‌تری از پلازیوکلازهای نیمه شکل دار را در بر گرفته‌اند که باعث به وجود آمدن بافت غربالی شده است. بلورهای پلازیوکلاز به‌علت دگرسانی گرمابی، اغلب به سرسیست، کلسیت و اپیدوت تجزیه شده‌اند. عمل تجزیه بهخصوص در مراکز بلورها که کلسیک‌ترند، شدت بیشتری دارد. بعضی از بلورهای پلازیوکلاز با کوارتز به صورت درهم‌رشدی (بافت میرمکیت) درفضای بین بلورها رشد کرده‌اند. زیرکن و کانی‌های اپک به عنوان فراوان‌ترین کانی‌های فرعی به صورت ادخال درون بیوتیت قرار گرفته‌اند (شکل ۴-ج). بر اساس مطالعات پتروگرافی، روند تبلور کانی‌ها مانند جدول ۱ می‌باشد.

زمین‌شیمی سنگ‌کل

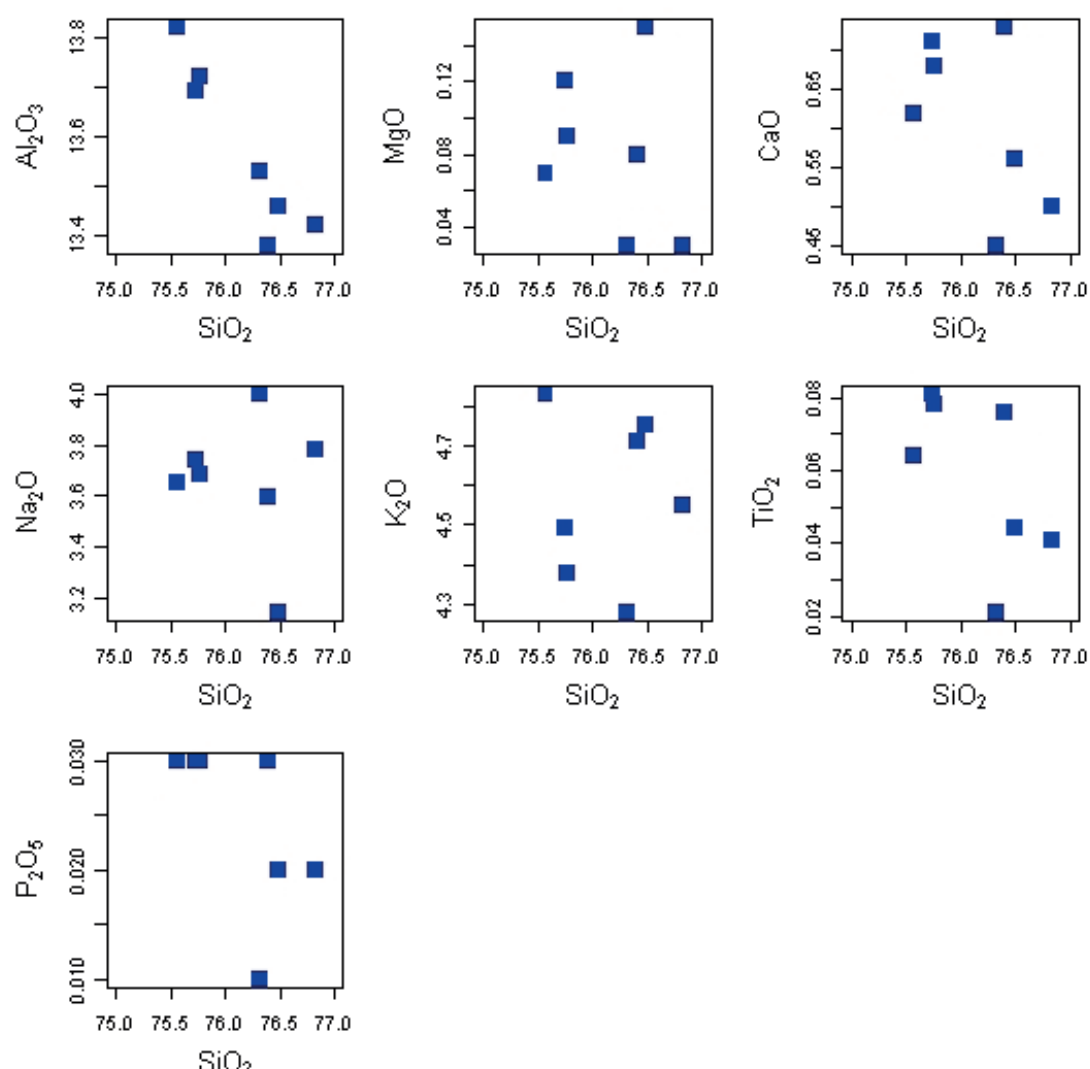
به‌منظور مطالعه ژئوشیمی، رده‌بندی سنگ‌های گرانیت‌وئیدی منطقه، بررسی سیر تحولات عناصر اصلی، کمیاب و ... تعداد ۷ نمونه سنگی بعد از مطالعات پتروگرافی انتخاب و در کارگاه کانه‌آرایی دانشکده معدن دانشگاه صنعتی شاهروod، آماده‌سازی و به آزمایشگاه Actlab کانادا جهت آنالیز بهروش طیف‌سنگی جرمی نشری پلاسمای جفت شده القایی (ICP-MS) ارسال و مورد تجزیه قرار گرفت. نتایج تجزیه‌های شیمیایی عناصر اصلی و کمیاب نمونه‌های گرانیت‌وئیدی کوه گبری در جدول ۲ آورده شده است.

جدول ۱. ترتیب تبلور کانی‌های سنگ‌های گرانیت‌وئیدی کوه گبری

کانی‌ها	مرحله دگرسانی	مرحله ماگمایی
زیرکن		—
بیوتیت	—	—
پلازیوکلاز	—	—
آلکالی فلدسپار	—	—
کوارتز	—	—
سرسیست	—	—
اپیدوت	—	—
کلریت	—	—
کلسیت	—	—



شکل ۵. الف) طبقه‌بندی سنگ‌های گرانیتoidی و موقعیت نمونه‌های مورد مطالعه بر روی آن و ب) نمودار طبقه‌بندی سنگ‌های آذرین (Middelmost, 1994)



شکل ۶. نمودارهای تغییرات اکسیدهای اصلی در برابر SiO₂. (بر حسب درصد وزنی) (Harker, 1909)

جانشینی آن با Ca و K در فلدسپارها، Ba به دلیل جانشینی با K در بیوتیت و آکالی فلدسپارها، P به علت فراوانی فاز فرعی آپاتیت و Ti به علت وجود کانی‌های تیتان‌دار نظیر اسفن و ایلمینیت و Zr به دلیل وجود کانی زیرکن است (Wilson, 1989).

جایگاه زمین ساختاری

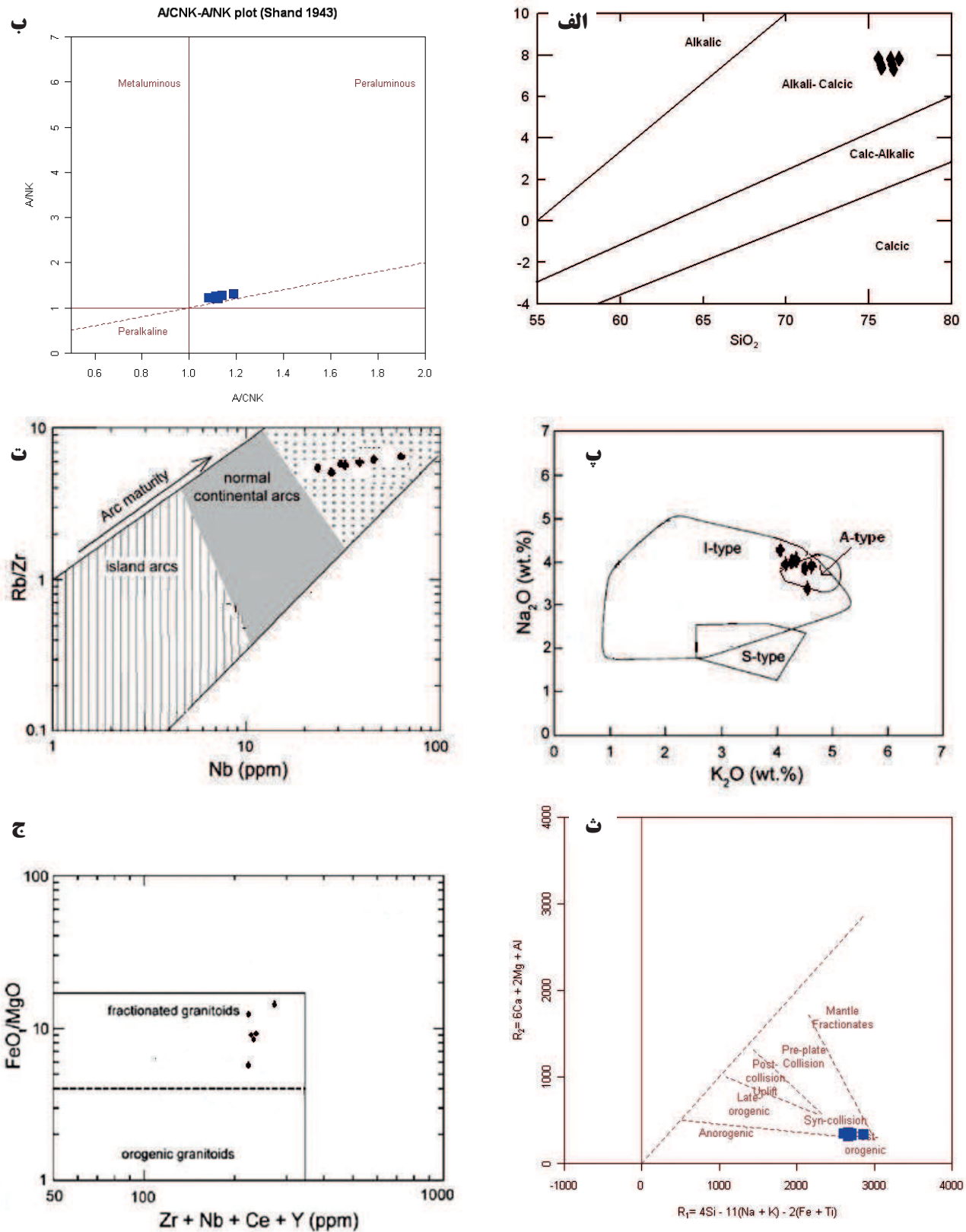
بر اساس درجه اشباع از آلومین ASI (جدول ۲)، Shand (1943) گرانیت‌ها و آکالی گرانیت‌های منطقه مورد مطالعه ویژگی پرآلومینوس ضعیف را نشان می‌دهند. اندیس ASI در گرانیت‌های نوع I کمتر از ۱/۱ می‌باشد (Vetter and Tessensohn, 1987). در نمودار تمایز زمین ساختاری [Rb-(Y+Nb)] (Pearce 1982) گرانیتوئید کوه گبری در جایگاه زمین ساختاری گرانیت درون صفحه‌ای قرار می‌گیرد (شکل ۱۰-الف). غنی شدگی عناصر Ti, P, Nb, Eu, K, Th, Rb, Ce, Nd و آنومالی منفی ناسازگار (Chappell and White, 1992; Harris et al., 1992) در نمودار Hf-Rb-Nb (Hf-Rb-Nb)، همه نمونه‌ها در محدوده گرانیت‌های هم‌زمان با کوه گبری قرار می‌گیرند (شکل ۱۰-ب). نمودار Al₂O₃-SiO₂ همچنین نشان می‌دهد که تمام نمونه‌ها در محدوده گرانیت بعد از کوه گبری (POG) قرار می‌گیرند (شکل ۱۰-ج). تحقیقات انجام شده در توده‌های گرانیتوئیدی مناطق مجاور این منطقه بیانگر این مطلب است که ماقمای مادر این توده‌ها از ذوب آبدار بخش‌های مافیک قاعده‌ای پوسته قاره‌ای ضخیم با دخالت ماقمای برخاسته از جبه زون برخوردي در محیط زمین ساختی هم‌زمان تا پس از برخورد حاصل شده‌اند (Shafiei et al., 2009).

بحث

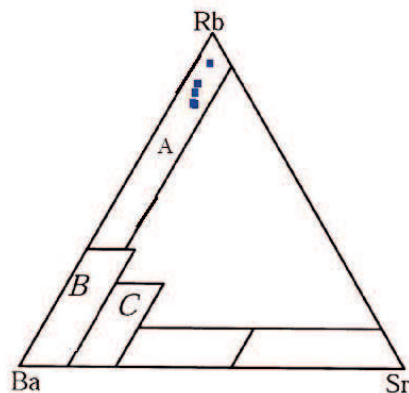
کانی‌های ثانویه مانند اپیدوت، سرسیتی شدن آکالی فلدسپارها و سوسوریتی شدن پلازیوکلازها می‌تواند در نتیجه فعالیت سیالات هیدروترمال می‌باشند. نسبت بالای مقدار ASI (جدول ۲) ممکن است همچنین در نتیجه دگرسانی گرمابی باشد، درحالی که هوازدگی نیز می‌تواند باعث این تغییر شود (Opiyo et al., 1999). دگرسانی فلدسپات‌ها باعث خروج عناصر سدیم، پتاسیم و کلسیم از کانی شده و موجب افزایش نسبی عنصر Al در سنگ شده است. رنگ صورتی کانی ارتوکلاز حاکی از شرایط اکسیدان و فشار بخشی بالای اکسیژن در زمان تشکیل این سنگ‌هاست و همچنین مؤید منشأ ماقمایی I برای این گرانیتوئیدهاست (Chappell et al., 2001). شکل گرانیتوئیدهای کوه گبری احتمالاً توسط ساختارهای سنگ میزبان تا حدودی تحت تأثیر قرار گرفته و به شکل دو استوک مجزا می‌باشد. در نمودار عناصر اصلی و کمیاب در مقابل SiO₂، اکسیدهای عناصر اصلی روند قابل توجه و خاصی از خود نشان نمی‌دهند؛ زیرا سنگها فاقد تنویر هستند. مقادیر متغیر Ba احتمالاً در نتیجه تغییر بیوتیت و فلدسپار پتاسیم‌دار می‌باشد (Kebede et al., 1999).

(1983) استفاده شده که نمونه‌ها در محدوده مشترک گرانیت‌های نوع I و A قرار می‌گیرند (شکل ۷-پ). کانی‌های تیره موجود در سنگ‌های منطقه بیوتیت و هورنبلند می‌باشند و کانی‌های غنی از Al مانند کرون‌دوم، کردیریت و توپاز در سنگ‌های منطقه مشاهده نمی‌شوند. نبود این کانی‌ها در سنگ‌های منطقه نشان‌دهنده ویژگی گرانیتوئیدهای نوع I ماتالومینوس می‌باشد اما ویژگی پرآلومینوس ضعیف نمونه‌ها ممکن است به عوامل دیگری از جمله نامهگن بودن محتوی سیال در ناحیه منشا (Waught et al., 1998) یا به دلیل تبلور تفریقی هورنبلند از ماقمای مادر (Zen 1989) و یا به دلیل خروج Ca و آکالی‌ها در طی دگرسانی‌های سرسیتی و آرژیلیتی شدن نمونه‌ها باشد (Bissig et al., 2003) که این مطلب در نمونه‌های کوه گبری صدق می‌کند. نمونه‌های گرانیتی و آکالی گرانیتی کوه گبری در نمودار Rb/Zr در مقابل Brown Nb et al., (1984) در محدوده قوس قاره‌ای بالغ (شکل ۷-ت) و در نمودار Batchelor and Bowden (1985) در محدوده گرانیت‌های هم‌زمان تا بعد از برخورد قرار می‌گیرند (شکل ۷-ث). همچنین در نمودار Whalen et al., (1987) نمونه‌های کوه گبری در محدوده گرانیت‌های حاصل از تبلور تفریقی قرار می‌گیرند (شکل ۷-ج). جایگاه تکتونیکی بعد از کوه گبری توده‌های اذرین نوار ماقمایی سوزوویک کرمان (KCMA) نشان‌دهنده تشکیل این تودها بعد از رخداد فرورانش صفحه اقیانوسی نووتیس به زیر صفحه قاره‌ای ایران می‌باشد (Dargahi et al., 2009). به علاوه Shafiei et al. (2007) توده‌های گرانیتوئیدی شمال شرق نوار ماقمایی کرمان را به رخداد تکتونیکی بعد از کوه گبری نسبت می‌دهد. نمونه‌های گرانیتوئیدی کوه گبری در نمودار مثلثی Bouseily Rb-Ba-Sr and Sokkary, (1975) در محدوده گرانیت‌های تکامل یافته قرار می‌گیرند (شکل ۸). قرارگیری نمونه‌ها در این محدوده به دلیل کم بودن مقدار درصد پلازیوکلاز نسبت به آکالی فلدسپار می‌باشد. نمودار تغییرات هنجار شده عناصر کمیاب نمونه‌های مورد مطالعه به مقادیر گوشه اولیه (شکل ۹-الف) غنی شدگی یکسانی را در عناصر لیتوفیل بزرگ یون (LILE=Cs, Rb, Ba, Pb)، عناصر نادر خاکی متوسط (LREE=La, Ce, Nd)، عناصر نادر خاکی متوسط (MREE=Sm, Dy) و عناصر نادر خاکی سنگین (HREE=Yb, Lu) نشان می‌دهند. در حالی که عناصر باشد میدان بالا (HFSE=Nb, Zr, Hf, Ti) آنومالی منفی نشان می‌دهند. الگوهای REE‌ها هنجار شده نسبت به کندریت، Boynton (1984) نشان می‌دهد که گرانیت‌ها و آکالی گرانیت‌ها منطقه کوه گبری، غنی شدگی نسبتاً یکسانی از LREE و HREE‌ها دارند و کمتر تغییر یافته می‌باشند. (شکل ۹-ب).

آنومالی منفی شدید Eu/Eu* = 0.002-0.05 (Eu/Eu*) احتمالاً ناشی از تبلور تفریقی پلازیوکلاز در طی تبلور ماقماست و حاکی از وجود پلازیوکلاز در منشا باقی مانده می‌باشد (Tepper et al., 1993). نمودار عنکبوتی هنجار شده به کندریت Thompson, (1993) آنومالی‌های منفی از عناصر P، Ti، Nb، Sr، Ba، Nb و Ra نشان می‌دهد (شکل ۹-پ). علت تنهی شدگی عنصر Sr به دلیل



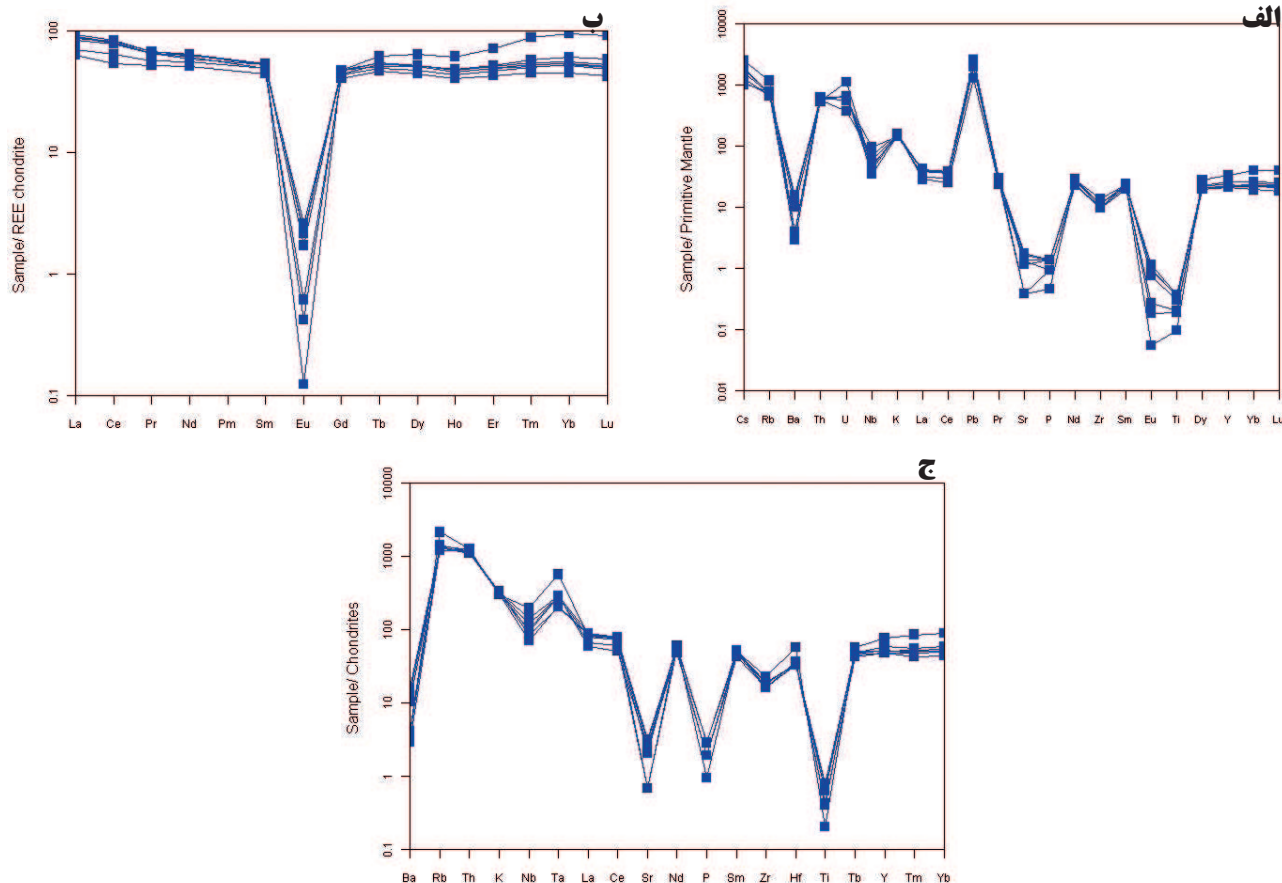
شکل ۷. موقعیت نمونه‌های مورد مطالعه در نمودارهای ژئوشیمیایی. (الف) نمودار اندیس آلکالی (Frost et al., 2001)، (ب) نمودار A/CNK در مقابل A/NK (Shand, 1943)، (ج) نمودار Rb/Zr در مقابل Nb (White and Chappel, 1983)، (د) نمودار K₂O در مقابل Na₂O (Brown et al., 1984)، (ه) نمودار FeO در مقابل Zr + Nb + Ce + Y (Batchelor and Bowden, 1985)، (و) نمودار 6Ca + 2Mg + Al در مقابل 4Si - 11(Na+K) - 2(Fe+Ti) (Whalen et al., 1987).



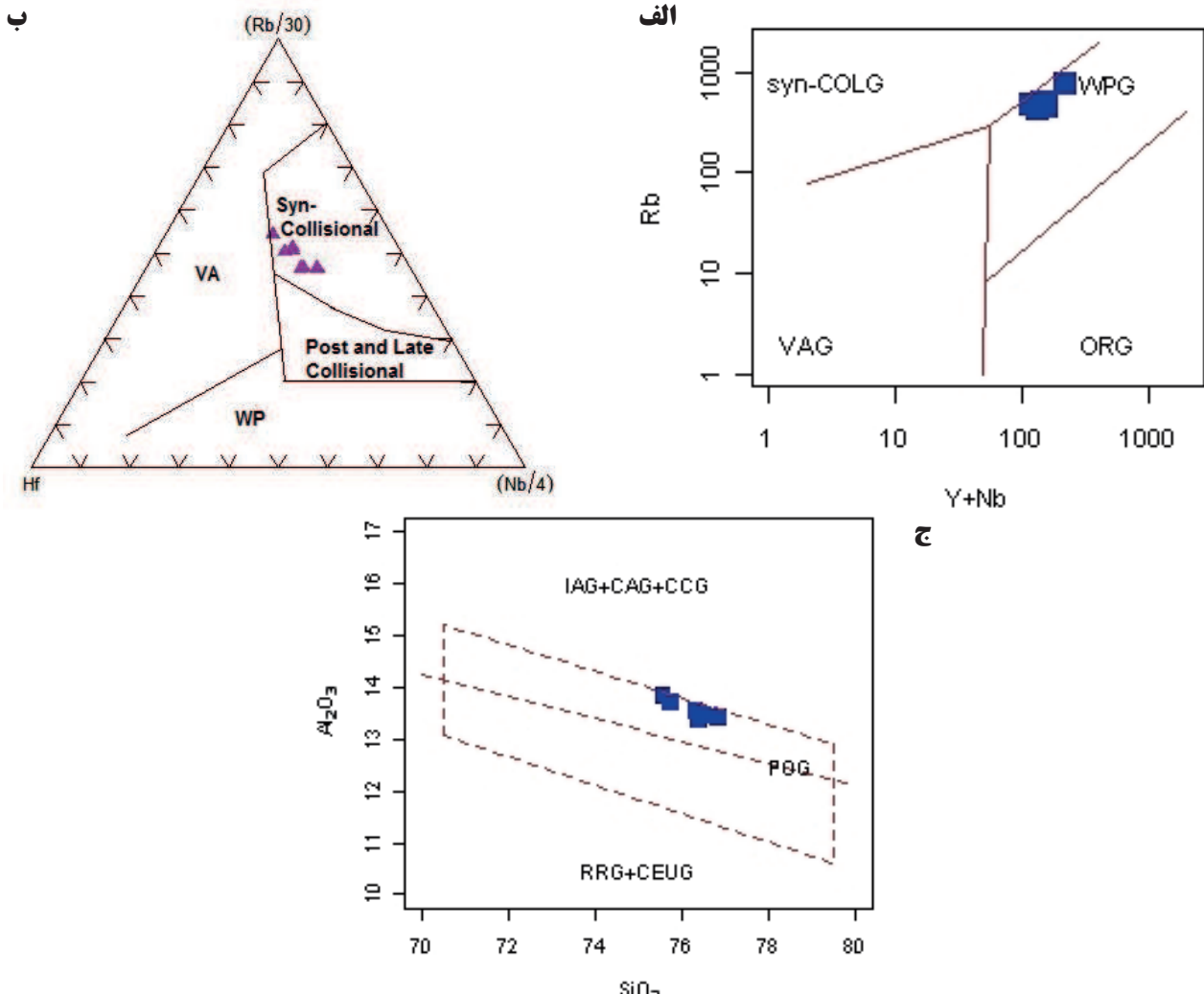
شکل ۸ موقعیت گرانیت‌های کوه گبری در نمودار تغییرات Rb-Ba-Sr ; (Bouseily and Sokkary, 1975). A= evolved granites، B= normal granites و C= Anomalous granites

دانه (تشکیل کوارتزهای ریز دانه، شکل ۴) همنچین می‌توانند در نتیجه سردشدن سریع مذاب و یا سردشدن بخشی از توده نفوذی در عمق کم باشد (Nagudi et al., 2003). مقادیر بالای نسبت‌های $Rb/Sr > 11$ و مقادیر پایین نسبت‌های $Sr/Ba = 0.3$, با تشکیل پلازیوکالاز سازگار می‌باشد. نسبت‌های $K_2O > Na_2O$ و K_2O/Na_2O اختلاف ضربان‌های ماگمای مختلف از یک منشا یکسان را نشان می‌دهند (Jung et al., 1992).

آلکالی فلدسپار در گرانیت‌ها و آلکالی گرانیت‌ها، بافت میکروپریتی نشان می‌دهند (شکل ۶) که نتیجه سرد شدن کند آن‌ها در مراحل نهایی سرد شدن توده نفوذی بوده و زمان کافی برای تشکیل این بافت وجود داشته است. بافت‌های میکروگرافیک و گرانوفیریک (شکل ۵) نشان دهنده تبلور سریع و همزمان کوارتز و آلکالی فلدسپار از ماگمای در حال سرد شدن در عمق کم می‌باشند (Barker, 1983; Clarke, 1992). به علاوه بافت‌های ریز



شکل ۹. نمودارهای عنکبوتی هنجار شده عناصر کمیاب به مقادیر الف) گوشته اولیه (Sun and McDonough, 1989)، ب) مقادیر کندریت، Boynton, 1982) و ج) مقادیر کندریت (Thompson, 1984)



شکل ۱۰. (الف) جایگاه تکتونیکی درون صفحه‌ای نمونه‌های مورد مطالعه در دیاگرام [Rb-(Y+Nb)] ppm. (ب) قرار گیری نمونه‌ها در محدوده هم‌زمان با برخورد در دیاگرام Hf-Nb-Al₂O₃-SiO₂ ppm. (ج) دیاگرام Al₂O₃-SiO₂ ppm قرار گرفته در طی تفریق بلورین ماقماً یا حفظ این عناصر در فلدسپارهای منشا در طی ذوب بخشی می‌باشد (Rolinson, 1993). (الف) روند تفریق نیافته HREE نشان دهنده تولید ماقماً در محدوده خارج از محدوده پایداری گارنت می‌باشد در صورتی که آنومالی‌های منفی Eu و Sr میتواند دلیلی بر پایداری پلازیوکلاز در منشا باشد. تمام دلایل ذکر شده با تشکیل توده نفوذی در فشار نسبتاً پایین (کمتر از ۸ کیلو بار) سازگار است (Arth, 1979; Barker, 1979; Mark, 1999).

نتیجه‌گیری

در این مقاله شواهد صحرایی، مطالعات پتروگرافی و ژئوشیمی سنگ کل مورد بررسی قرار گرفت و نتایج زیر حاصل گردید: ویژگی‌های پتروگرافی و ژئوشیمی گرانیتوئید کوه گبری نشان‌دهنده آن است که تبلور تفریقی مهمترین فرایند در تشکیل این سنگ‌ها می‌باشد. ماقماً فلزیک احتمالاً منشاً پوسته‌ای داشته و در شرایط تحت اشباع از آب به وجود آمده است. داده‌های ژئوشیمی و صحرایی (مانند انکلاوهای مافیک) نشان می‌دهند که فرایند ذوب بخشی به دلیل جایگزینی ماقماً مافیک در پوسته می‌باشد.

مقادیر تفریق نیافته HREE و مقادیر پایین Sr و Eu نشان‌دهنده ذوب شدگی در شرایط فشار است (پلازیوکلاز پایدار بدون حضور گارنت). همچنین شواهد بافتی و صحرایی نشان دهنده جایگزینی توده نفوذی در عمق کم می‌باشد که باعث دگرگونی مجاورتی گردیده است.

(al., 1999). آنومالی منفی Nb نمونه‌ها به دلیل منشاً پوسته‌ای آنها می‌باشد. آنومالی‌های منفی Eu و Sr در نتیجه تبلور پلازیوکلازها در مراحل اولیه تبلور در طی تفریق بلورین ماقماً یا حفظ این عناصر در فلدسپارهای منشا در طی ذوب بخشی می‌باشد (Rolinson, 1993). روند تفریق نیافته HREE نشان دهنده تولید ماقماً در محدوده خارج از محدوده پایداری گارنت می‌باشد در صورتی که آنومالی‌های منفی Eu و Sr میتواند دلیلی بر پایداری پلازیوکلاز در منشا باشد. تمام دلایل ذکر شده با تشکیل توده نفوذی در فشار نسبتاً پایین (کمتر از ۸ کیلو بار) سازگار است (Arth, 1979; Barker, 1979; Mark, 1999).

به دلیل بالا بودن مقدار پتاسیم و عناصر کمیاب ناسازگار در گرانیتوئیدهای کوه گبری، یک مدل احتمالی که ذوب یک منشا پوسته‌ای متالومینوس می‌باشد را می‌توان برای گرانیتوئیدهای کوه گبری پیشنهاد کرد. ویژگی پرآلومینوس ضعیف نمونه‌های مورد مطالعه این مطلب را تأیید می‌کند.

جدول ۲. مقادیر درصد اکسیدهای اصلی بر حسب درصد وزنی (XRF) و مقادیر عناصر فرعی و کمیاب بر حسب PPM (ICP-MS)

Oxides (wt%)	SiO ₂	Al ₂ O ₃	Fe ₂ O ₃ (T)	MnO	MgO	CaO	Na ₂ O	K ₂ O	TiO ₂	P ₂ O ₅	LOI	Total
C.13	76.4	13.38	1.01	0.013	0.08	0.73	3.59	4.71	0.076	0.03	0.86	100.9
A.11	76.83	13.42	0.76	0.008	0.03	0.5	3.78	4.55	0.041	0.02	0.66	100.6
AG	76.32	13.53	1.09	0.023	0.03	0.45	4	4.28	0.021	0.01	0.59	100.3
C.1	75.74	13.69	1.21	0.023	0.12	0.71	3.74	4.49	0.081	0.03	0.69	100.5
H.2	76.49	13.46	0.61	0.008	0.15	0.56	3.14	4.75	0.044	0.02	1.36	100.6
K23.2	75.77	13.72	1.16	0.02	0.09	0.68	3.68	4.38	0.078	0.03	0.69	100.3
C.12	75.57	13.82	0.84	0.01	0.07	0.62	3.65	4.83	0.064	0.03	0.66	100.2
Trace elements (ppm)	Sc	Be	Th	Cu	U	Ga	Ge	Rb	Sr	Y	Zr	Nb
C.13	4	9	50.2	< 10	13.8	21	2.6	424	37	106	131	29.5
A.11	4	49	49.2	< 10	13.6	24	2.8	459	8	119	109	41.4
AG	5	7	53.2	< 10	11.7	29	3.8	749	8	152	154	68.2
C.1	4	8	48.1	< 10	13.7	22	2.7	469	35	95.8	127	24.9
H.2	3	7	48.8	< 10	7.85	25	2.7	496	28	95.1	109	49.3
K23.2	4	10	52.7	< 10	13.9	21	2.7	481	29	101	123	34.7
C.12	4	10	46.1	< 10	23.8	23	2.7	463	24	101	114	32.9
Trace elements (ppm)	Tl	Pb	Bi	Sn	Sb	Cs	Ba	La	Ce	Pr	Nd	Sm
C.13	3.4	188	1.1	4	3.4	10.1	96	27.7	64.4	7.95	35.7	10.3
A.11	3.07	140	3.3	10	4.1	15.3	< 3	22	52.2	6.97	33.3	9.66
AG	4.85	147	24.1	8	4.4	19.8	< 3	27	66.9	8.33	37.8	10.4
C.1	3.47	179	2	8	4.1	12.7	110	28.1	65.5	7.96	36.8	9.72
H.2	3.59	92	14.7	5	4.1	8.1	27	19.6	44	6.37	30.6	8.72
K23.2	3.61	189	1.7	6	3.9	13.9	92	28.9	67.5	8.35	38.6	10.6
C.12	3.24	178	3.4	4	3.1	8.6	71	26.2	62.9	8	37.8	10.4
Trace elements (ppm)	Eu	Gd	Tb	Dy	Ho	Er	Tm	Yb	Lu	Hf	Ta	W
C.13	0.162	12.3	2.45	16.4	3.29	10.3	1.65	10.9	1.56	6.6	4.12	3.2
A.11	0.031	11.5	2.51	16.8	3.46	11	1.89	12.8	1.89	7.3	5.61	5.2
AG	0.009	12.3	2.95	20.6	4.43	15.1	2.89	19.8	2.95	11.5	11.3	9.8
C.1	0.19	11.4	2.36	15.3	3.11	9.81	1.64	11	1.61	6.9	4.19	4.6
H.2	0.045	10.5	2.21	14.3	2.91	8.98	1.46	9.51	1.37	6.7	5.8	4.3
K23.2	0.157	12.2	2.61	16.8	3.41	10.8	1.79	11.8	1.71	6.9	5.82	2.5
C.12	0.126	12.3	2.59	16.6	3.32	10.4	1.72	11.3	1.65	6.5	5.63	3.3
	Eu/EU*	(La/Sm)N	(La/Yb)N	(Tb/Yb)N	ASI							
C.13	0.044	1.47	1.54	0.95	1.08							
A.11	0.009	1.24	1.04	0.83	1.11							
AG	0.002	1.42	0.82	0.63	1.12							
C.1	0.055	1.58	1.54	0.91	1.11							
H.2	0.014	1.23	1.24	0.98	1.18							
K23.2	0.042	1.49	1.48	0.94	1.14							
C.12	0.034	1.38	1.40	0.97	1.11							

earth elements: meteorite studies. In: Hander son P (eds) rare earth geochemistry. Elsevier, Amsterdam, 63-114.

- Brown, G.C., Thorpe, R. and Webb, P.C., 1984. The geochemical characteristics of granitoids in contrasting arcs and comments on magma sources. Geological society, 141, 413-426.

- Chappell B.W. and White, A.J.R., 1983: Granotoid types and their distribution in the Lachlan fold belt, south-eastern Australia. Geological Society of American, 159, 21-34.

- Chappell, B.W. and White, A.J.R., 1992. I and S type granites in the Lachlan fold belt. Earth Science, 83, 1-26.

- Chappell, B.W., White, A.J.R. Williams, I.S. and Wyborn, D., 2001. Lachlan folds belt granites revisited: high and low temperature granites and their implication. Australia Jour. Earth Science, 47, 123-738.

- Clarke, D.B., 1992. Granitoid Rocks. Chapman and Hall, London, 283.

- Dargahi, S., 2007. Miocene post collision magmatism in region between Sar cheshmed and Shahr Babak southwestern Kerman: investigation of isotopic data, petrogenetic analysis, geodynamic model for granitoid bodies, and role of adakitic magmatism indevelopment of copper mineralization. PhD Thesis, 306.

- Forst, B.R., Barnas, C.G., Collins, W.Y., Arculus, R.Y., Ellis, D.Y. and Frost, C.D., 2001. A geochemical classification for granitic rocks, Petrology, 42, 2033-2048.

- Harker, A., 1909. The Natural History of Igneous Rocks. Methuen and Co LTD. London, 344.

- Harris, N.B.W., Pearce, J.A. and Tindel, A.G., 1986. Geochemical characteristics of collision- zone magmatism. Geological Society of London, Special Publication, 19, 67-81.

- Jung, S., Hoernes, S., Masberg, P. and Hoffer, E., 1999. The petrogenesis of some migmatites and granites (Central Damara Origen, Namibia): evidence for disequilibrium melting, wall-rock contamination and crystal fractionation. Journal of Petrology, 40, 1241-1269.

- Kebede, T., Koeberl, C. and Koller, F., 1999. Geology, geochemistry and petro genesis of intrusive rocks of the Wallagga area, western Ethiopia. Journal of African Earth Sciences, 29, 715-734.

- Mark, G., 1999. Petro genesis of Mesoproterozoic K-rich granitoids, southern Mt. Angelay igneous complex, Cloncurry district, northwestern Queensland. Australian

مراحل نهایی تفریق ماسگما با فعالیت سیالات هیدرولترمال همراه بوده است که منجر به تشکیل رگه‌های کوارتزی پگماتیتی و آپلیتی و تشکیل و تمرکز برخی کانی‌ها مانند فلورورین، مگنتیت و پیریت در منطقه شده است. به علاوه فعالیت سیالات هیدرولترمال باعث دگرسانی کوارتز- سریسیتی و تشکیل کانی‌های ثانویه مانند هماتیت، کلریت و سریسیت شده است. داده‌های ژئوشیمیایی گرانیتوئیدی کوه گبری شبیه به گرانیت‌های مربوط به جایگاه‌های زمین ساختاری هم‌زمان تا بعد از برخورد می‌باشد.

منابع

- آفتابی، ع. و عباس‌نژاد، ۱۳۶۶. زمین‌شناسی، کانی‌سازی اسکارن و پتانسیل مواد معدنی در منطقه کوه گبری رفسنجان. انتشارات دانشگاه شهید باهنر کرمان، ۱۰۴.
- شفیعی، ب.، ۱۳۹۰. تکیک نفوذی‌های گرانیتوئیدی بهره ور از غیر بهره ور در کمربند مس پورفیری کرمان: نتایج مطالعات مقدماتی سنگنگاری و کانی‌شناسی. مجله زمین‌شناسی کاربردی پیشرفت، ۲، ۱-۷.
- عابدپور، ز.، ۱۳۸۵. پترولوزی و ژئوشیمی توده نفوذی کوه گبری و هاله دگرگونی اطراف آن، شرق رفسنجان. پایان‌نامه کارشناسی ارشد، دانشگاه صنعتی شاهرود، ۲۲۸.
- Abdel-Rahman, A.F.M., 1990. Petrogenesis of early-orogenic diorites, tonalites and post-orogenic trondhjemites in the Nubian shield, Journal Petrology, 31, 285-1312.
- Arth, J.G., 1979. Some trace elements in trondhjemites—their implications to magma genesis and pale tectonic setting. In: Barker, F., (Ed.), Trondhjemites Dacites and Related Rocks. Developments in Petrology, 6, 123-132.
- Batchelor, R.A. and Bowden, P., 1985. Petrogenetic interpretation of granitoids rocks series using multicationic Parameters. Chemical Geology, 48, 43-55.
- Bissig, T., Clark, A.H., Lee J.K.W. and Quadt, A.V., 2003. Petrogenetic and metallogenetic responses to Miocene slab flattening: new constraints from the E1 Indio-Pascua Au-Ag-Cu belt, Chile/ Argentina. Mineral deposit, 38, 844-862
- Barker, F., 1979. Trondhjemite: definition, environment and hypotheses of origin. In: Barker, F., (Ed.), Trondhjemites, Dacites and Related Rocks. Developments in Petrology, 6, 1-11.
- Barker, D.S., 1983. Igneous Rocks. Prentice-Hall, New Jersey, 417.
- Boynton, W.V., 1984. Cosmo chemistry of the rare

Journal of Earth Sciences, 46, 933–949

- Middlemost, E.A.K., 1994. Naming materials in the magma/igneous rock system. *Earth Science*, 37, 215-224.
- Nagudi, B., Koeberal, C. and Kurat, G., 2003. Petrography and geochemistry of the singo granite, Uganda. *Journal of African Earth Sciences*, 36, 73-87.
- O'Connor, J.T., 1965. A classification for quartz-rich igneous rocks based on feldspar reactions. *United States Geological Survey*, 1525, 49-84.
- Opiyo-Akech, N., Tarney, J. and Hoshino, M., 1999. Petrology and geochemistry of granites from Archean terrain north of Lake Victoria, Western Kenya. *Journal of African Earth Sciences*, 29, 283–300.
- Pearce, J.A., 1982. Trace element characteristics of lavas from destructive plate margins. In *Andesites: orogenic andesites and related rocks*, R.S. Thorpe (ed.), 525- 548. Wiley.
- Rollinson, H.R., 1993. *Using Geochemical Data: Evaluation, Presentation, and Interpretation*. Addison Wesley Longman, Harlow, 352.
- Shafiei, B., Haschke, M. and Shahabpour, J., 2009. Recycline of orogenic arc crust triggers porphyry Cu mineralization in Kerman Cenozoic rocks. *Mineralium Deposita*, 44, 265-283.
- Shand, S.J., 1943. *Eruptive Rocks*. Thomas Murby and Co LT, London, 488.
- Sun, S.S. and McDonough, W.F., 1989. Chemical and isotopic systematic of oceanic basalts: implications for mantle composition and processes in: Saunders A.D.,

Norry, M.Y., magmatism in ocean basins: Geological Society of London Special Publication, 42, 313-345.

- Tepper, Y.H., Nelson, B.K., Bergantz, G.W and Irving, A.J., 1993. Petrology of the Chilliwack batholiths, north Cascades, Washington: generation of calc- alkaline granitoids by melting of mafic lower crust white variable water fugacity. *Contribution to Mineralogy and Petrology*, 113, 333-351.
- Thompson, R.N., 1982. Magmatism of the British tertiary volcanic province. *Scottish Journal of Geology*, 18, 49- 107.
- Waigh, T.E., Weaver, S.D. and Muir, R.Y., 1998. The Hohonu batholiths the north west land, new Zealand: granitoid compositions controlled by source H_2O contents and generated during tectonic setting. *Contributions to Mineralogy and Petrology*, 130, 225-239.
- Whalen, J.B., Currie, K.L. and Chappell B.W., 1987. A- type granites: geochemical characteristics, discrimination and petrogenesis. *Contributions to Mineralogy and Petrology*, 95, 407- 419.
- Wilson, M., 1989. *Igneous Petrogenesis*. Unwin Hyman London.466.
- Vetter, U. and Tessensohn, F., 1987. S- and I-type granitoids of North Victoria Land, Antarctica, and their inferred geotectonic setting. *Geologische Rundschau*, 76, 233–243.
- Zen, E.A., 1989. Aluminum enrichment in silicate melts by fractional crystallization: some mineralogical and petrographical constraints. *Petrology*, 27, 1095- 1118.